

УДК 535.37

© 1990

РЕЛАКСАЦИЯ  $1s$  ЭКСИТОНОВ В КРИСТАЛЛЕ  $\text{Cu}_2\text{O}$ 

Ф. И. Крейнгольд, К. Ф. Лидер

Исследуются спектры возбуждения свободных и связанных экситонов в кристалле  $\text{Cu}_2\text{O}$ . В спектре возбуждения  $1s$  ортоэкситонов обнаружена линия непрямого перехода, положение которой зависит от длины волны регистрируемого света. Показано, что скорость межзонной релаксации экситонов много больше скорости внутризонного рассеяния на продольных акустических фонах.

В кристалле меди край поглощения определяется  $1s$  экситонами желтой серии. Основное состояние расщепляется обменным взаимодействием на тройное  $\Gamma_5^+$  (ортоэкситон) и синглетное  $\Gamma_2^+$  (параэкситон)<sup>[1]</sup>. Прямой переход на уровень  $\Gamma_5^+$  разрешен в квадрупольном приближении, он наблюдается в поглощении<sup>[2]</sup> и люминесценции<sup>[3]</sup>. Прямой переход на уровень  $\Gamma_2^+$  запрещен в дипольном и квадрупольном приближении и не влияет на формирование края поглощения.<sup>1</sup> В то же время уровень парыэкситона оказывает существенное влияние на кинетику экситонов при низких температурах, так как расположен глубже ортоэкситона ( $\Delta E = 96 \text{ см}^{-1}$ )<sup>[4]</sup>. В связи с этим было интересно исследовать зависимость скорости орто—пара релаксации от длины волны возбуждающего света. В спектре возбуждения люминесценции ортоэкситонов рядом с линией  $n=1$  обнаружена линия, возникающая при непрямом переходе в зону  $\Gamma_5^+$ ; положение новой линии зависит от длины волны регистрируемого света. При возбуждении связанных экситонов наблюдалось разгорание линий примесных состояний.

Были исследованы кристаллы  $\text{Cu}_2\text{O}$  чистые и легированные кадмием. Возбуждение люминесценции велось перестраиваемым лазером на красителе. Измерения проводились при  $\approx 2 \text{ K}$ .

Как было сказано, возбуждение  $\Gamma_2^+$  экситонов может происходить практически только путем возбуждения  $\Gamma_5^+$  экситонов с последующей их релаксацией на уровень  $\Gamma_2^+$ . В результате спектр возбуждения параэкситонов определяется спектром поглощения ортоэкситонов (рис. 1). Наблюдаются линия  $n=1$ , соответствующая прямому возбуждению ортоэкситонов, и две ступеньки, соответствующие возбуждению ортоэкситонов с одновременным рождением фонаров  $\Gamma_5^-$  ( $87 \text{ см}^{-1}$ ) и  $\Gamma_3^-$  ( $109 \text{ см}^{-1}$ ). Для измерений использовались толстые кристаллы ( $\sim 1 \text{ mm}$ ), поэтому в области непрямого перехода с фоном  $\Gamma_3^-$  свет поглощался полностью. Незначительный спад интенсивности люминесценции параэкситонов, возникающий при увеличении частоты возбуждающего света за порогом  $\Gamma_3^-$ , определяется, по-видимому, влиянием поверхностной рекомбинации. Видно, что скорость орто—пара релаксации практически не зависит от кинетической энергии ортоэкситонов. В процессе релаксации  $1s$  экситонов наряду с межзонной происходит внутризонная релаксация, поэтому интересно рассмотреть внутризонную релаксацию отдельно.

<sup>1</sup> Разрешен непрямой переход на уровень парыэкситона с фоном  $\Gamma_5^-$ , однако вероятность этого перехода чрезвычайно мала и в поглощении он обычно не наблюдается.

Внутризонная релаксация ортоэкситонов в  $\text{Cu}_2\text{O}$  рассматривалась ранее [5]. В спектре возбуждения ортоэкситонов в отличие от спектра возбуждения параэкситонов наблюдается осциллирующая структура (рис. 2). Эта структура объясняется рассеянием экситонов на продольных акустических фононах. Сопоставление спектров возбуждения орто- и параэкситонов позволяет утверждать, что скорость орто—пара релаксации существенно больше скорости внутризонного рассеяния экситонов на  $LA$ -фононах.

При исследовании релаксации экситонов в заданное состояние  $k \neq 0$ ,

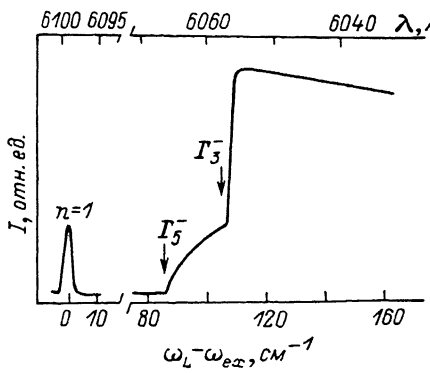


Рис. 1. Спектр возбуждения параэкситона  $\Gamma_2^+$  (полосы фононного повторения с симметрией  $\Gamma_5^-$ ,  $\lambda_0 \approx 6166 \text{ \AA}$ ).

$T = 2 \text{ K}$ .  $\omega_L, \omega_{ex}$  — частоты возбуждения и бесфононного излучения ( $n = 1$ ).

когда регистрировались спектры возбуждения различных участков полосы фононного повторения  $\Gamma_s^-$ , с коротковолновой стороны от  $n=1$  была обнаружена дополнительная линия (рис. 2). Положение новой линии зависит от длины волны регистрируемого света  $\lambda_s$ . Появление этой линии вызвано непрямыми переходами в зону ортоэкситонов, а возможность наблюдения ее обусловлена постановкой эксперимента (см. схему переходов на рис. 2, a). Действительно, вероятность непрямого перехода экситонов из  $k=0$  ( $n=1$ )

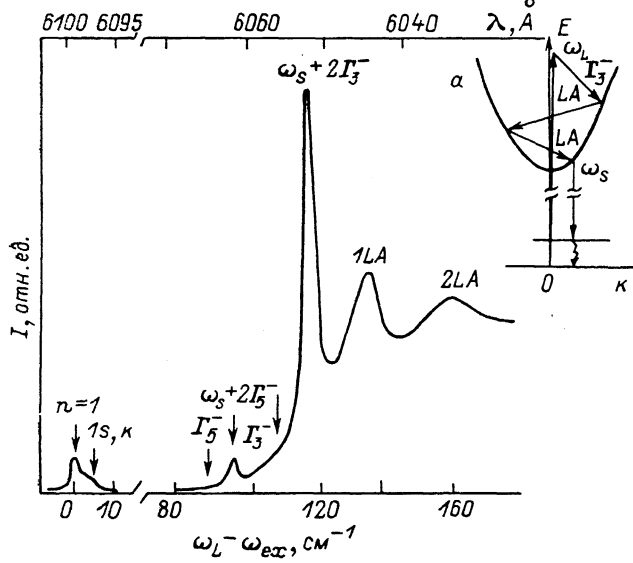


Рис. 2. Зависимость интенсивности излучения ортоэкситонов с  $k = 3.3 \cdot 10^6 \text{ см}^{-1}$  от энергии падающего света.

$T = 2 \text{ K}$ . Обозначения те же, что и на рис. 1,  $\omega_s$  — частота излучения.

в  $k \neq 0$  при  $2 \text{ K}$  мала, поэтому становятся заметными конкурирующие процессы с нарушением правил отбора по волновому вектору. Легирование кристаллов кадмием увеличивает относительную интенсивность линии непрямого перехода. Зависимость положения линии непрямого перехода от  $\lambda$ , приведена на рис. 3.

В кристаллах  $\text{Cu}_2\text{O}: \text{Cd}$  при гелиевых температурах наблюдается богатый спектр связанных экситонов [6, 7]. Спектр возбуждения одной из систем связанных экситонов с энергией связи  $E_{cb} \approx 70 \text{ см}^{-1}$  ( $\lambda_0 \approx 6161 \text{ \AA}$ )

приведен на рис. 4. Отличительная особенность этого спектра — появление триплета  $A, B, C$  с длинноволновой стороны от  $n=1$  на расстоянии около  $10 \text{ см}^{-1}$ . В спектре поглощения исследуемых кристаллов дополнит-

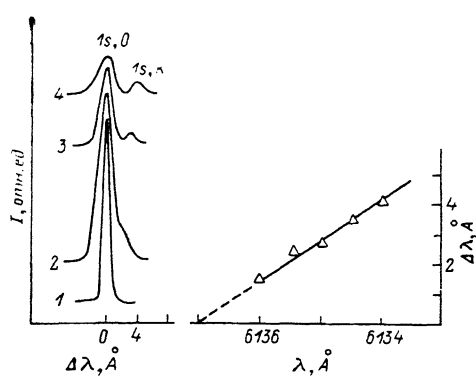


Рис. 3. Зависимость положения линии непрямого перехода ( $1s, k$ ) в зону ортоэкситона от длины волны регистрируемого света  $\lambda_s$ .  $T=2 \text{ K}$ .

$\Delta\lambda (\text{\AA})$  — расстояние между  $n=1$  и линией непрямого перехода.  $\lambda_s (\text{\AA})$ : 1 — 6137, 2 — 6136, 3 — 6135, 4 — 6134.

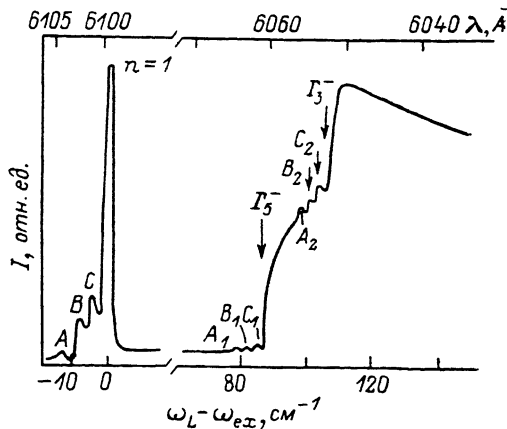


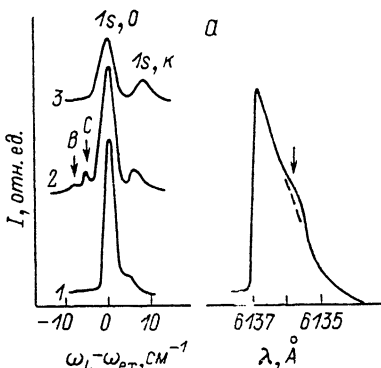
Рис. 4. Спектр возбуждения связанных паразекситонов ( $E_{\text{ex}} \approx 70 \text{ см}^{-1}$ ,  $\lambda_s = 6161 \text{ \AA}$ ).  $T=2 \text{ K}$ .

$A, B, C$  — бесфоновые линии локализованного ортоэкситона;  $A_1, B_1, C_1$  и  $A_2, B_2, C_2$  — фоновые повторения локализованного ортоэкситона.

тельных линий поглощения вблизи  $n=1$  обнаружить не удалось. Ранее соответствующие линии наблюдались в спектре поглощения  $\text{Cu}_2\text{O} : \text{Cd}$  при больших концентрациях кадмия и были интерпретированы как линии локализованного ортоэкситона [8]. Появление линий локализованного ортоэкситона в спектре возбуждения экситонов с  $E_{\text{ex}} \approx 70 \text{ см}^{-1}$  свидетельствует о том, что обе системы связаны на одном центре. Более того, прямое возбуждение связанных экситонов эффективнее, чем в процессе релакса-

Рис. 5. Резонансное возбуждение связанных паразекситонов ( $E_{\text{ex}} \approx 7 \text{ см}^{-1}$ ).

$\lambda_s (\text{\AA})$ : 1 — 6136, 2 — 6135.5, 3 — 6135. а — спектр люминесценции того же образца. Стрелкой указано положение линии излучения связанных паразекситонов.



ции свободных экситонов. Перед каждой из ступенек отчетливо видны узкие линии, соответствующие повторениям локализованного ортоэкситона с фонами  $87$  и  $109 \text{ см}^{-1}$ . Надо отметить закономерное увеличение интенсивности фоновой ступеньки  $G_3$  в ряду ортоэкситон — паразекситон — связанный экситон (рис. 2, 1, 4), что отражает увеличение времени жизни соответствующих состояний ( $\sim 10^{-7}, 10^{-5}$  и  $10^{-3} \text{ с}$ ). При исследовании зависимости спектра возбуждения ортоэкситонов от  $\lambda_s$  в кристаллах  $\text{Cu}_2\text{O} : \text{Cd}$  нами было обнаружено резонансное разгорание линий локализованного ортоэкситона, когда  $\lambda_s = 6135.5 \text{ \AA}$ . На рис. 5 приведены спектры возбуждения для трех значений  $\lambda_s$  вблизи резонанса. Разгорание объясняется возбуждением мелкого связанных паразекситонов [7] с энергией связи около  $7 \text{ см}^{-1}$ . Соответствующая линия излучения связанных паразекситонов обнаружена в исследованных образцах (рис. 5, а).

Таким образом, можно утверждать, что все исследованные нами системы связанных экситонов в Cu<sub>2</sub>O : Cd локализованы на одном и том же центре.

### Список литературы

- [1] Elliott R. J. // Phys. Rev. 1961. V. 124. N 2. P. 340—345.
- [2] Гросс Е. Ф., Каплянский А. А. // ДАН СССР. 1960. Т. 132. № 1. С. 98—101.
- [3] Гросс Е. Ф., Крейнгольд Ф. И. // Письма в ЖЭТФ. 1968. Т. 7. № 8. С. 281—283.
- [4] Крейнгольд Ф. И., Макаров В. Л. // ФТТ. 1973. Т. 15. № 4. С. 1307—1309.
- [5] Крейнгольд Ф. И., Лидер К. Ф. // ФТТ. 1987. Т. 29. № 3. С. 749—752.
- [6] Крейнгольд Ф. И., Цуриков В. И. // ФТТ. 1980. Т. 22. № 11. С. 3275—3281.
- [7] Крейнгольд Ф. И., Цуриков В. И. // ФТТ. 1986. Т. 28. С. 2534—2536.

Ленинградский государственный университет  
Ленинград

Поступило в Редакцию  
12 октября 1989 г.

---